

# Índices $N$ y $N_+$ para el polítopo de conjuntos estables asociado a ciertas familias de antiwebs

Montenegro M. Torres L. M.

*Departamento de Matemática*

mary\_sioque@hotmail.com, luis.torres@epn.edu.ec

## Resumen

En el presente artículo, revisamos los operadores  $N$  y  $N_+$  de levantamiento y proyección (*lift-and-project*) definidos por Lovász y Schrijver [3], así como su aplicación al polítopo de conjuntos estables de un grafo. Posteriormente, estudiamos las propiedades de los índices  $N$  y  $N_+$  asociados a estos operadores sobre la clase particular de grafos de las antiwebs. Demostramos que el índice  $N_+$  de cualquier antiweb es igual 1, y presentamos un esquema constructivo que permite acotar el valor del índice  $N$  para ciertas familias de antiwebs.

**Palabras claves:** polítopo de conjuntos estables, procedimiento “lift-and-project”, índices  $N$  y  $N_+$ , antiwebs

## Abstract

We review the *lift-and-project*  $N$  and  $N_+$  operators defined by Lovász and Schrijver [3], as well as their application to the stable set polytope of a graph. We study the properties of the related  $N$  and  $N_+$  indices on the particular graph class of antiwebs. We show that the  $N_+$  index related to an antiweb is equal to 1, and we propose a constructive scheme to bound from above the  $N$  index related to certain families of antiwebs.

**Keywords:** stable set polytope, lift-and-project,  $N$  and  $N_+$  operators, antiwebs

## 1 Los operadores $N$ y $N_+$

Un poliedro  $P = \{x \in \mathbb{R}^n : Ax \leq b\}$  es la intersección finita de semiespacios cerrados. Un *polítopo* es un poliedro acotado, y un resultado fundamental de la teoría poliedral establece que todo polítopo es la envolvente convexa de un conjunto finito de puntos.

Dado un poliedro  $P \subseteq \mathbb{R}^n$ , definimos al poliedro entero asociado  $P_I$  como la envolvente convexa de los puntos en  $P$  con coordenadas enteras. Es decir,  $P_I := \text{conv}(P \cap \mathbb{Z}^n)$ .

Todo polítopo  $P \subseteq [0, 1]^n$  puede ser asociado a un cono en  $\mathbb{R}^{n+1}$ , mediante una transformación conocida como *homogeneización*. Básicamente, la misma consiste en considerar la inmersión de  $P$  en el hiperplano  $H := \{x \in \mathbb{R}^{n+1} : x_0 = 1\}$  y, a partir de esta inmersión, generar un cono convexo. Al homogeneizar el polítopo

$$P = \{x \in \mathbb{R}^n : Ax \leq b, 0 \leq x \leq \mathbb{1}\},$$

se obtiene el cono

$$K :=$$

$$\left\{ \begin{pmatrix} x_0 \\ x \end{pmatrix} \in \mathbb{R}^{n+1} : bx_0 - Ax \geq 0, x \geq 0, x_0 \mathbb{1} - x \geq 0 \right\}.$$

Se dice que una desigualdad lineal es válida para un polítopo  $P$  si la misma se cumple para todo  $x \in P$ . Toda

desigualdad  $\alpha^T x \leq \beta$  válida para el polítopo  $P$  puede escribirse como la desigualdad  $\beta x_0 - \alpha^T x \geq 0$  válida para el cono  $K$ , y se conoce como *desigualdad homogeneizada* de  $\alpha^T x \leq \beta$ . Notaremos por  $\hat{\alpha}^T = (\beta, -\alpha^T)$  al vector de incidencia asociado a esta desigualdad.

Observar que es posible escribir  $K$  como la intersección de un número finito de semiespacios definidos por restricciones lineales de la forma  $\hat{\alpha}^T x \geq 0$  con  $\hat{\alpha}^T = (\beta, -\alpha^T)$  y  $x \in \mathbb{R}^{n+1}$ ; por lo tanto,  $K$  es un cono poliedral.

Llamaremos  $Q$  al cono poliedral en  $\mathbb{R}^{n+1}$  que resulta de la homogeneización del polítopo  $[0, 1]^n$ ; es decir,

$$Q =$$

$$\{(x_0, x_1, \dots, x_n)^T : x_0 - x_i \geq 0, x_i \geq 0, \forall 1 \leq i \leq n\}.$$

Notar que  $Q$  está descrito por las siguientes  $2n$  desigualdades lineales:

$$x_i = e_i^T x \geq 0 \quad \text{y} \quad x_0 - x_i = (e_0 - e_i)^T x = f_i^T x \geq 0, \quad \forall i = 1, \dots, n, \quad (1)$$

donde  $e_i$  son los vectores unitarios canónicos de  $\mathbb{R}^{n+1}$  y  $f_i := e_0 - e_i$ , para  $i = 1, \dots, n$ .

$Q$  puede entenderse, de manera equivalente, como el cono convexo generado por todos los vectores  $x \in \{0, 1\}^{n+1}$  con  $x_0 = 1$ .

A lo largo de esta sección, consideraremos un cono convexo  $K \subseteq Q$ , y notaremos por  $K_I$  al cono generado por todos los vectores en  $K$  que tienen coordenadas iguales a 0 ó 1.

Sea  $K$  un cono convexo en  $\mathbb{R}^{n+1}$ . El cono polar de  $K$ , denotado por  $K^*$ , es el cono convexo definido por

$$K^* := \{u \in \mathbb{R}^{n+1} : u^T x \geq 0, \forall x \in K\}.$$

Observar que si  $u \in K^*$ , entonces la desigualdad lineal  $u^T x \geq 0$  es válida para  $K$ . En otras palabras,  $K^*$  está formado por los vectores normales de todas las desigualdades válidas para  $K$ .

El cono polar de  $Q$  está generado por los vectores  $e_i$  y  $f_i$  para  $i = 1, \dots, n$ . Estos vectores corresponden a los vectores normales de las desigualdades (1) que definen  $Q$ :

$$Q^* = \text{cone}\{e_i, f_i : i = 1, \dots, n\}.$$

Lovász y Schrijver [3] introducen el método “levantar y proyectar” para ajustar la relajación fraccionaria de un cono entero contenido en  $Q$ . Revisaremos a continuación los aspectos fundamentales del mismo.

**Definición 1** ([3]). Sean  $K_1, K_2 \subseteq Q$  dos conos convexos en  $\mathbb{R}^{n+1}$ . Se define  $M(K_1, K_2)$  como el cono de las matrices  $Y = (y_{ij})$  que pertenecen a  $\mathbb{R}^{(n+1) \times (n+1)}$  tales que:

- (i)  $Y$  es simétrica;
- (ii)  $\text{diag}(Y) = Y e_0$ ; es decir,  $y_{ii} = y_{0i}$  para todo  $1 \leq i \leq n$ ;
- (iii)  $u^T Y v \geq 0$  para todo  $u \in K_1^*$  y  $v \in K_2^*$ .

De manera similar,  $M_+(K_1, K_2)$  es el cono de las matrices que, a más de las condiciones anteriores, satisfacen

- (iv)  $Y$  es semi-definida positiva; es decir,  $u^T Y u \geq 0$ , para todo  $u \in \mathbb{R}^{n+1}$ .

**Lema 1** ([4]). Sean  $K_1, K_2 \subseteq Q$  dos conos convexos,  $x$  un vector de coordenadas 0 ó 1 en  $K_1 \cap K_2$ , con  $x_0 = 1$ , y  $Y = x x^T$ . Entonces  $Y$  es una matriz en  $\mathbb{R}^{(n+1) \times (n+1)}$  que satisface (i)–(iv) de la definición anterior.

Los conos  $M(K_1, K_2)$  y  $M_+(K_1, K_2)$  se conocen como levantamientos de  $K_1$  y  $K_2$ . Nos interesan, además, sus proyecciones sobre  $\mathbb{R}^{n+1}$ , definidas por:

$$N(K_1, K_2) := \{Y e_0 : Y \in M(K_1, K_2)\},$$

$$N_+(K_1, K_2) := \{Y e_0 : Y \in M_+(K_1, K_2)\}.$$

Al procedimiento de obtener  $N(K_1, K_2)$  ó  $N_+(K_1, K_2)$  a partir de  $K_1$  y  $K_2$  se lo llama “levantar y proyectar” (*lift-and-project*). El siguiente resultado, motivado por el lema 1, explica su utilidad.

**Lema 2** ([3]).  $(K_1 \cap K_2)_I \subseteq N_+(K_1, K_2) \subseteq N(K_1, K_2) \subseteq K_1 \cap K_2$ .

Dos casos particulares que merecen especial atención se presentan cuando  $K_1 = K_2 = K$ ; y  $K_1 = K, K_2 = Q$ .

En lo posterior, nos restringiremos al estudio del segundo caso, y definimos los operadores de levantamiento y proyección  $N$  y  $N_+$  por medio de:

$$\begin{aligned} N(K) &:= N(K, Q), \\ N_+(K) &:= N_+(K, Q), \end{aligned}$$

para cualquier  $K \subseteq Q$ . Notar que, a partir del lema 2, se tiene que

$$K_I \subseteq N_+(K) \subseteq N(K) \subseteq K.$$

De esta manera, al aplicar los operadores  $N$  y  $N_+$ , se ajusta una relajación lineal del cono entero  $K_I$ . Para  $i \in \mathbb{N}$ , denotaremos por  $N^{i+1}(K)$  a  $N(N^i(K))$ , con  $N^1(K) := N(K)$ . Uno de los resultados principales de Lovász y Schrijver establece que es suficiente aplicar  $n$  veces el operador  $N$  a un cono convexo  $K$  para obtener el cono entero  $K_I$ .

**Teorema 3** ([3]). Sea  $K \subseteq Q$  un cono convexo en  $\mathbb{R}^{n+1}$ . Entonces  $N^n(K) = K_I$ .

Más adelante, requeriremos la siguiente propiedad del operador  $N$ .

**Lema 4** ([4]). Sean  $K \subseteq Q$  un cono en  $\mathbb{R}^{n+1}$  y  $w \in \mathbb{R}^{n+1}$ . Entonces  $w \in N(K)^*$  si y solo si  $w e_0^T \in M(K)^*$ .

Se define el índice  $N$  de un cono  $K$  como el menor  $t \in \mathbb{N}$  tal que  $N^t(K) = K_I$ . Por el Teorema 3, el índice  $N$  de cualquier cono  $K \subseteq \mathbb{R}^{n+1}$  es menor o igual a  $n$ . De la misma manera, se define el índice  $N$  de una desigualdad válida para  $K_I$  como el menor  $t \in \mathbb{N}$  tal que esta desigualdad sea válida para  $N^t(K)$ . El índice  $N_+$  se define de forma similar.

Es posible trasladar las construcciones anteriores al espacio original  $\mathbb{R}^n$ , sin homogeneización: si  $K$  es el cono que resulta de homogeneizar el polígono  $P$  contenido en  $[0, 1]^n$ , se define

$$N(P) := \left\{ x \in \mathbb{R}^n : \begin{pmatrix} 1 \\ x \end{pmatrix} \in N(K) \right\}.$$

De forma semejante se define el conjunto  $N_+(P)$ .

En la aplicación práctica del método, son de gran importancia las expresiones para los polares  $M^*(K_1, K_2)$  y  $M_+^*(K_1, K_2)$  que presentamos a continuación.

Denotaremos por  $U_{\text{sym}}$  al espacio de las matrices simétricas y por  $U_{\text{skew}}$  al espacio de las matrices anti-simétricas en  $\mathbb{R}^{(n+1) \times (n+1)}$ .

La condición (ii) de la definición 1 puede ser escrita usando el producto escalar de matrices en la forma  $\langle f_i e_i^T, Y \rangle = 0$ . Se define, entonces:

$$U := \{Y \in \mathbb{R}^{(n+1) \times (n+1)} : \langle f_i e_i^T, Y \rangle = 0, \forall 1 \leq i \leq n\}.$$

Se denota, además, por  $U_1$  el espacio lineal de las matrices  $Y$  en  $\mathbb{R}^{(n+1) \times (n+1)}$  tales que  $y_{0j} = -y_{jj}$  para  $1 \leq j \leq n$ ,  $y_{00} = 0$ , y  $y_{ij} = 0$ , si  $i \neq 0$  e  $i \neq j$ . Se puede demostrar que  $U_1$  está generado por las matrices  $f_i e_i^T$  para  $i = 1, \dots, n$ .

De manera análoga, el producto  $u^T Y v$ , en la condición (iii) de la definición 1, puede escribirse como  $\langle u, Y v \rangle = \langle u v^T, Y \rangle$ . Definimos el conjunto

$$V := \left\{ Y \in \mathbb{R}^{(n+1) \times (n+1)} : \langle u v^T, Y \rangle \geq 0, \forall u \in K_1^* \wedge \forall v \in K_2^* \right\}.$$

Finalmente, denotaremos por  $U_{sdp}$  al cono de las matrices semi-definidas positivas (s.d.p.) en  $\mathbb{R}^{(n+1) \times (n+1)}$ ; es decir:

$$U_{sdp} = \{ Y \in \mathbb{R}^{(n+1) \times (n+1)} : x^T Y x \geq 0 \forall x \in \mathbb{R}^{n+1} \}.$$

Empleando la notación introducida arriba, tenemos que:

$$M(K_1, K_2) := U_{\text{sym}} \cap U \cap V,$$

y

$$M_+(K_1, K_2) := U_{\text{sym}} \cap U \cap V \cap U_{sdp}.$$

Se conoce, además, que el polar de una intersección de conjuntos es la suma de los polares de cada conjunto, de donde:

$$\begin{aligned} M^*(K_1, K_2) &= (U_{\text{sym}} \cap U \cap V)^* \\ &= U_{\text{sym}}^* + U^* + V^*, \\ M_+^*(K_1, K_2) &= (U_{\text{sym}} \cap U \cap V \cap U_{sdp})^* \\ &= U_{\text{sym}}^* + U^* + V^* + U_{sdp}^*. \end{aligned}$$

Por último, es posible demostrar [4] que:  $U_{\text{sym}}^* = U_{\text{skew}}$ ,  $U^* = U_1$ ,  $V^* = \text{cone}\{u v^T : u \in K_1^*, v \in K_2^*\}$  y  $U_{sdp}^* = U_{sdp}$ . Como resultado, se obtiene el siguiente teorema.

**Teorema 5.** Sean  $K_1, K_2 \subseteq Q$  dos conos convexos en  $\mathbb{R}^{n+1}$ . Entonces,

$$\begin{aligned} M^*(K_1, K_2) &= U_{\text{skew}} + U_1 + V^*, \\ M_+^*(K_1, K_2) &= U_{\text{skew}} + U_1 + V^* + U_{sdp}. \end{aligned} \quad (2)$$

Utilizaremos este resultado en la sección 3 para caracterizar los conjuntos obtenidos al aplicar el operador  $N$  sobre relajaciones fraccionarias del polítopo de conjuntos estables asociado a antiwebs.

## 2 Conjuntos estables

Un grafo (no dirigido)  $G = (V, E)$  consiste de un conjunto finito de nodos  $V = V(G)$  y un conjunto finito de aristas  $E = E(G)$ , donde cada arista está formada por un par de nodos que se conocen como extremos. Es decir, los elementos de  $E(G)$  son de la forma  $\{i, j\}$  donde  $i, j \in V(G)$ . Por simplicidad, es usual denotar  $\{i, j\}$  simplemente por  $ij$ . Se dice que una arista  $ij$  es incidente a sus nodos extremos  $i, j$ . Un par de nodos  $i, j \in V$  son

adyacentes o vecinos si  $ij \in E$ . En adelante, designaremos por  $n$  al número de nodos de un grafo.

Un subgrafo  $G' = (V', E')$  de  $G$  es un grafo tal que  $V' \subseteq V$  y  $E' \subseteq E$ . El subgrafo  $G'$  se llama subgrafo inducido por  $V'$  si  $E'$  contiene todas las aristas de  $E$  con sus dos extremos en  $V'$ . Notaremos en este caso  $G' \subseteq G$ .

El complemento de  $G$  es el grafo  $\bar{G}$  que tiene el mismo conjunto de nodos  $V$  y tal que dos nodos son adyacentes en  $\bar{G}$  si y solo si no son adyacentes en  $G$ .

Para  $A \subseteq E$ ,  $G \setminus A$  denota el subgrafo  $G' = (V', E')$  obtenido mediante la eliminación de  $A$ , esto es,  $V' = V$  y  $E' = E \setminus A$ . De manera similar, si  $B \subseteq V$ , el grafo  $G \setminus B$  es el grafo inducido por  $V \setminus B$ . Es decir, la eliminación de un conjunto  $B$  de nodos consiste en eliminar de  $V$  los elementos de  $B$  y eliminar de  $E$  las aristas incidentes a nodos en  $B$ . Para  $i \in V$ , el grafo obtenido tras la eliminación de  $\{i\}$  se escribirá simplemente como  $G \setminus i$ . La contracción de un nodo  $i \in V$  consiste en la eliminación del conjunto  $\{i\} \cup \Gamma(i)$ . Notaremos al grafo resultante por  $G/i$ .

**Definición 2.** Sea  $G = (V, E)$  un grafo no dirigido. Un conjunto estable en  $G$  es un conjunto  $S \subseteq V$  de nodos mutuamente no adyacentes; es decir, un conjunto de nodos tal que si

$$i, j \in S \Rightarrow ij \notin E.$$

El número de estabilidad de  $G$  es la máxima cardinalidad de un conjunto estable en  $G$  y se denota por  $\alpha(G)$ .

Un grafo bipartito es un grafo cuyo conjunto de nodos puede particionarse en dos conjuntos estables  $V_1$  y  $V_2$ .

Un grafo es completo cuando cada par de vértices está conectado por una arista. Una clique es un subgrafo inducido completo; es decir, es el complemento de un conjunto estable. Notaremos por  $Q_n$  a una clique inducida por  $n$  nodos, y diremos, en este caso, que la clique tiene tamaño  $n$ . El máximo tamaño de una clique en un grafo  $G$  se conoce como número de clique y se denota por  $\omega(G)$ .

Un ciclo impar es un subgrafo inducido por un conjunto de  $2k + 1$  nodos  $\{1, \dots, 2k + 1\}$ , con  $k \in \mathbb{N}$ , y que contiene todas las aristas de la forma  $\{i, i + 1\}$  para  $i = 1, \dots, 2k + 1$ , con la suma tomada módulo  $2k + 1$ . Cualquier otra arista que no sea de la forma  $\{i, i + 1\}$  se conoce como cuerda. Un ciclo impar sin cuerdas es un agujero impar. Denotaremos por  $C_{2k+1}$  a un agujero de tamaño  $2k + 1$ . Un antiagujero impar  $\bar{C}_{2k+1}$  es el complemento de  $C_{2k+1}$ . Agujeros y antiagujeros impares son casos particulares de dos clases de grafos conocidos como webs y antiwebs.

**Definición 3** ([5]). Una web  $W_n^k$  es un grafo con conjunto de nodos  $\{1, \dots, n\}$  y un conjunto de aristas dado por  $E(W_n^k) := \{i, i \pm l : i \in V, 1 \leq l \leq k\}$ , donde la suma y resta de los elementos de  $V$  se definen módulo  $n$ .

**Definición 4** ([5]). Una antiweb  $\bar{W}_n^k$  es el complemento de una web  $W_n^k$ .

Las antiwebs generalizan varias otras clases de grafos conocidas. Algunos ejemplos particulares de antiwebs son las cliques  $Q_n = \overline{W}_n^0$ , los antiagujeros  $\overline{C}_n = \overline{W}_n^1$  y los agujeros impares  $C_{2k+1} = \overline{W}_{2k+1}^{k-1}$ . En la figura 1, se muestran otros ejemplos de webs y antiwebs. Asumiremos en adelante, al referirnos a webs y antiwebs, que  $n \geq 2k + 1$ , puesto que de lo contrario, toda web degenera en un grafo completo y toda antiweb en un grafo sin aristas.

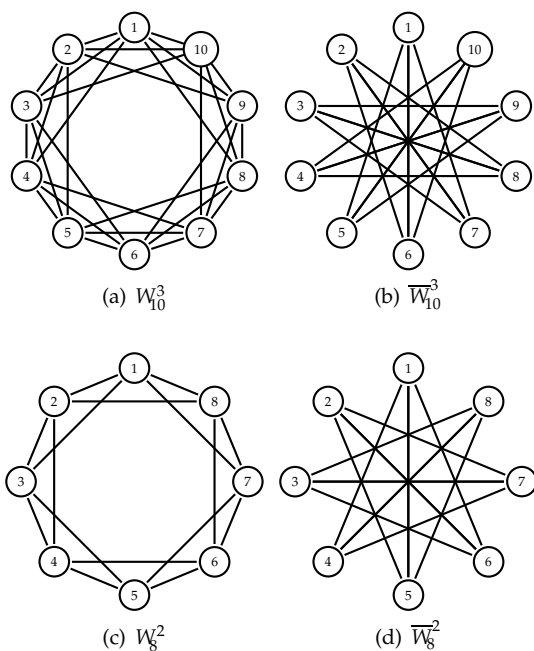


Figura 1. Ejemplos de webs y antiwebs.

Decimos que una antiweb es *prima* cuando  $n$  y  $k$  son números relativamente primos; es decir, si el máximo común divisor de  $n$  y  $k$  es 1.

Dados un grafo  $G = (V, E)$  y  $w \in \mathbb{R}^V$ , el problema del conjunto estable de peso máximo consiste en encontrar un subconjunto  $S \subseteq V$  que sea un conjunto estable y tal que su peso  $w(S) := \sum_{i \in S} w_i$  sea máximo. Si definimos variables binarias  $x_i$  para  $i \in V$ , con  $x_i = 1$  si y solo si  $i \in S$ , este problema puede formularse como el siguiente programa lineal entero:

$$(\text{MAXSTAB}(G)) \begin{cases} \text{máx } \sum_{i=1}^n w_i x_i \\ \text{sujeto a:} \\ x_i + x_j \leq 1, & \forall ij \in E, \\ x_i \in \{0, 1\}, & \forall i \in V. \end{cases}$$

El *polítopo de conjuntos estables* asociado a un grafo  $G = (V, E)$  es la envolvente convexa de los vectores de incidencia de conjuntos estables de  $G$ , y se denota por  $\text{STAB}(G)$ :

$$\text{STAB}(G) := \text{conv}\{\chi^S : S \subseteq V \text{ es un conjunto estable}\},$$

donde  $\chi^S \in \mathbb{R}^n$  denota el vector de incidencia del conjunto  $S \subseteq V$ ; es decir,

$$\chi_i^S = \begin{cases} 1, & \text{si } i \in S, \\ 0, & \text{caso contrario.} \end{cases}$$

El polítopo correspondiente a la relajación lineal de  $\text{MAXSTAB}(G)$ ,

$$(\text{MAXESTAB}(G)) \begin{cases} \text{máx } \sum_{i=1}^n w_i x_i \\ \text{sujeto a:} \\ x_i + x_j \leq 1, & \forall ij \in E, \\ x_i \in [0, 1], & \forall i \in V, \end{cases}$$

se conoce como la *relajación de aristas* del polítopo de conjuntos estables y se denota por

$$\text{ESTAB}(G) := \{x \in \mathbb{R}_+^V : x_i + x_j \leq 1 \forall ij \in E\}.$$

Evidentemente,  $\text{STAB}(G) \subseteq \text{ESTAB}(G)$ , y se conoce que los polítopos son iguales si y solo si  $G$  es un grafo bipartito.

Para un subgrafo inducido  $G' \subseteq G$ , se define

$$\sum_{i \in V(G')} x_i \leq \alpha(G') \tag{3}$$

como la *desigualdad de rango* asociada a  $G' \subseteq G$ . Es trivial verificar que (3) es válida para  $\text{STAB}(G)$ , pues cualquier conjunto estable de  $G$  restringido a los nodos de  $G'$  es un conjunto estable para  $G'$ .

Si  $G'$  pertenece a una clase de grafos específica, la desigualdad de rango asociada tomará el nombre de la clase. Por ejemplo, la desigualdad de rango asociada a una clique se conoce como desigualdad de clique. De la misma forma, se definen las desigualdades de arista, agujero, antiagujero, web y antiweb.

Lovász y Schrijver [3] estudiaron la aplicación de los operadores  $N$  y  $N_+$  a  $\text{ESTAB}(G)$ , y establecieron cotas inferiores y superiores para los índices  $N$  y  $N_+$  para este polítopo.

Para aplicar el operador  $N$  y los demás operadores, es necesario homogeneizar el problema a través de la inmersión del polítopo en el hiperplano  $H = \{x \in \mathbb{R}^{n+1} : x_0 = 1\} \subseteq \mathbb{R}^{n+1}$ .

Se denota por  $\text{ST}(G) \subset \mathbb{R}^{n+1}$  al cono poliedral obtenido al homogeneizar el polítopo  $\text{STAB}(G) \subset \mathbb{R}^n$ . Notar que

$$\text{ST}(G) = \text{cone} \left\{ \begin{pmatrix} 1 \\ \chi^S \end{pmatrix} : S \text{ es un conjunto estable} \right\},$$

y

$$\text{STAB}(G) \cong \text{ST}(G) \cap H.$$

De manera similar,  $\text{EST}(G) \subset \mathbb{R}^{n+1}$  denota el cono obtenido por la homogeneización del polítopo  $\text{ESTAB}(G)$ . Observar que  $\text{EST}(G)$  está determinado por el siguiente sistema de desigualdades homogéneo:

$$\begin{aligned} x_i &\geq 0, & \forall i \in V, \\ x_0 - x_i - x_j &\geq 0, & \forall ij \in E. \end{aligned}$$

Se tiene, además, que  $EST(G) \subseteq Q$  y  $EST(G)_I = ST(G)$ .  
 Por el lema 2,

$$ST(G) = EST(G)_I \subseteq N_+(EST(G)) \subseteq N(EST(G)) \subseteq EST(G).$$

Regresando al espacio original  $\mathbb{R}^n$ ,  $N(ESTAB(G)) \cong N(EST(G)) \cap H$ . En adelante, escribiremos simplemente  $N(G)$  para referirnos a  $N(ESTAB(G))$ , y denotaremos al índice  $N$  de  $ESTAB(G)$  por  $n_E(G)$ . Todos los resultados se presentan sobre  $\mathbb{R}^n$ .

Sea  $a^T x \leq b$  una desigualdad válida para  $STAB(G)$ . Por el teorema 3, existe un  $t \leq n$  tal que  $a^T x \leq b$  es válida para  $N^t(G)$ . El menor  $t$  con esta propiedad es el índice  $N$  de  $a^T x \leq b$ . El índice  $N_+$  se define de manera similar.

Los siguientes resultados de Lovász y Schrijver [3] son útiles para acotar superiormente los índices  $N$  y  $N_+$ , respectivamente.

**Teorema 6** ([3]). *El polítopo  $N(G)$  es exactamente el conjunto solución de las restricciones de no negatividad, arista y agujero impar.*

**Corolario 7** ([3]). *Si para algún nodo  $i \in V$ ,  $n_E(G \setminus i) \leq k$ , se tiene que  $n_E(G) \leq k + 1$ .*

A partir de las observaciones anteriores, Lovász y Schrijver obtuvieron las siguientes cotas para el índice  $N$  de un grafo.

**Corolario 8** ([3]). *Para todo grafo  $G$ ,  $\frac{n}{\alpha} - 2 \leq n_E(G) \leq n - \alpha - 1$ , donde  $\alpha = \alpha(G)$  es el número de estabilidad de  $G$ .*

Para el operador  $N_+$ , los autores demostraron la siguiente propiedad.

**Lema 9** ([3]). *Si  $a^T x \leq b$  es una desigualdad válida para  $STAB(G)$  tal que para todo  $i \in V$  con coeficiente positivo, la contracción de  $i$  da una desigualdad con índice  $N_+$  a lo más  $k$ , entonces  $a^T x \leq b$  tiene índice  $N_+$  a lo más  $k + 1$ .*

Las desigualdades de clique, agujero impar y antiagujero impar tienen la propiedad que, contrayendo cualquier nodo, se obtiene una desigualdad en la cual los nodos con coeficiente positivo inducen un grafo bipartito. Además, para un grafo bipartito  $G$ , se tiene  $STAB(G) = ESTAB(G)$ , de donde  $n_E(G) = 0$ . Aplicando el lema anterior, se concluye, por tanto, lo siguiente.

**Corolario 10** ([3]). *Las desigualdades de clique, agujero impar y antiagujero impar tienen índice  $N_+$  igual a 1.*

### 3 Índices $N$ y $N_+$ para antiwebs

La desigualdad de rango asociada a una antiweb  $\overline{W}_n^k$  está dada por:

$$\sum_{i=1}^n x_i \leq k + 1.$$

Se conoce que esta desigualdad es válida para  $STAB(\overline{W}_n^k)$  y que define una faceta si y solo si la antiweb

es prima [5]. Además, se ha demostrado que el polítopo de conjuntos estables  $STAB(\overline{W}_n^k)$  está descrito completamente por las desigualdades de no negatividad, de clique y de rango asociadas a todas las subantiwebs primas inducidas, incluida, de ser el caso,  $\overline{W}_n^k$  [6].

Para calcular el índice  $N_+$  de una antiweb, es posible aplicar el lema 9. Se conoce que las antiwebs son grafos casi bipartitos y, por lo tanto, al contraer cualquier nodo  $i$  de la antiweb  $\overline{W}_n^k$ , se obtiene un grafo bipartito. En la figura 2 se ilustra el procedimiento de contraer el nodo 1 de la antiweb  $\overline{W}_{10}^3$ . Se tiene que  $n_E^+(\overline{W}_n^k - i - \Gamma(i))$  es 0 para todo  $i \in \{1, \dots, n\}$ . Por lo tanto, el índice  $N_+$  de  $\overline{W}_n^k$ ,  $n_E^+(\overline{W}_n^k)$ , es a lo más 1. Además, es fácil demostrar que las únicas antiwebs bipartitas son aquellas con  $n = 2k + 2$ , de donde obtenemos el siguiente resultado:

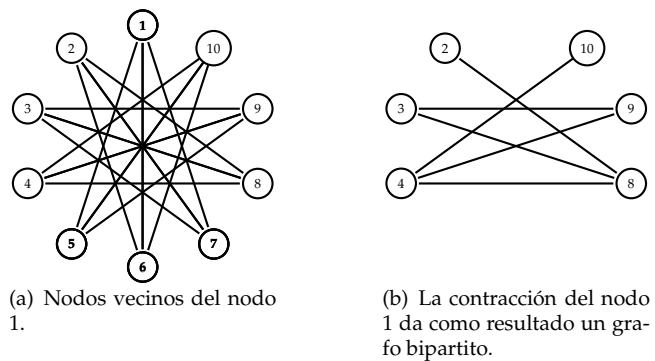


Figura 2. Contracción de un nodo en la antiweb  $\overline{W}_{10}^3$ .

**Teorema 11.** *El índice  $N_+$  de toda antiweb  $\overline{W}_n^k$ , con  $n \geq 2k + 3$ , es igual 1.*

Por otra parte, el cálculo del índice  $N$  para una antiweb resulta ser una tarea difícil en general. En las próximas dos secciones presentamos un esquema constructivo que nos permite acotar este valor para algunas familias particulares.

### 4 Sucesiones constructivas

La idea de sucesiones constructivas fue empleada en [2] para acotar superiormente el rango de Chvátal de las relajaciones de arista y de clique del polítopo de conjuntos estables asociado a grafos de la clase antiwebs.

Dada una desigualdad  $a^T x \leq b$  válida para un polítopo  $P$ , donde  $a$  es un vector entero, la desigualdad  $a^T x \leq [b]$  es válida para el polítopo entero  $P_I$  y puede cortar una parte de  $P$ . Esta desigualdad se conoce como *plano cortante de Gomory-Chvátal* para  $P$ .

La intersección de  $P$  con todos sus planos cortantes de Gomory-Chvátal se llama *clausura elemental* de  $P$  y se denota por  $P'$ . Claramente, se tiene que  $P_I \subseteq P'$  y se puede demostrar que  $P'$  es un polítopo. Por lo tanto, el procedimiento de tomar la clausura elemental puede ser iterado para obtener relajaciones cada vez más ajustadas de

la envolvente entera  $P_I$ . Sean  $P^{(0)} = P$  y  $P^{(t+1)} = (P^{(t)})'$ , para  $t \geq 0$ . Chvátal [1] demostró que para todo poliedro acotado  $P \subseteq \mathbb{R}^n$ , existe un  $t \in \mathbb{N}$  tal que  $P^t = P_I$ . El rango de Chvátal de un poliedro  $P$ , notado por  $cr(P)$ , se define como el menor  $t$  con esta propiedad.

Por otra parte, si  $P \subseteq \mathbb{R}^n$  es un poliedro y  $a^T x \leq b$  es una desigualdad válida para  $P_I$ , la profundidad de  $a^T x \leq b$  con respecto a  $P$  es el menor  $t \in \mathbb{N}$  tal que  $a^T x \leq b$  es válida para  $P^t$ . Notaremos, en adelante, a este valor por  $d(a, b)$ . Para el caso específico del polítopo de conjuntos estables  $STAB(G)$ , si  $a^T x \leq b$  es la desigualdad de rango de un subgrafo  $G' \subseteq G$ , notaremos  $d(a, b)$  simplemente por  $d(G')$ .

Como consecuencia de la caracterización de  $STAB(\overline{W}_n^k)$ , señalada al inicio de la sección, el rango de Chvátal de la relajación de aristas del polítopo de conjuntos estables asociado a la antiweb  $\overline{W}_n^k$ , que notaremos por  $cr(\overline{W}_n^k)$ , puede calcularse a partir de las profundidades de las desigualdades de rango  $d(\overline{W}_{n'}^{k'})$  correspondientes a todas las subantiwebs primas inducidas  $\overline{W}_{n'}^{k'} \subseteq \overline{W}_n^k$ .

En [2] se presentan condiciones para que la desigualdad de rango de una subantiweb  $\overline{W}_{n'}^{k'} \subseteq \overline{W}_n^k$  pueda usarse para generar la desigualdad de rango de la antiweb  $\overline{W}_n^k$  en una sola iteración del procedimiento Chvátal-Gomory. Se plantea, además, un algoritmo, el cual construye para cada subantiweb  $\overline{W}_{n'}^{k'}$  una sucesión de subantiwebs de la forma:

$$\overline{W}_{n_0}^{k_0} \subset \overline{W}_{n_1}^{k_1} \subset \dots \subset \overline{W}_{n_t}^{k_t} = \overline{W}_n^k.$$

Esta sucesión satisface la siguiente propiedad: la desigualdad de rango de  $\overline{W}_{n_i}^{k_i}$  puede obtenerse a partir de la desigualdad de rango de  $\overline{W}_{n_{i-1}}^{k_{i-1}}$  mediante una sola aplicación del procedimiento Chvátal-Gomory para todo  $1 \leq i \leq t$ . Si se conoce el valor de  $d(\overline{W}_{n_0}^{k_0})$ , puede obtenerse la siguiente cota superior para  $d(\overline{W}_n^k)$ :

$$d(\overline{W}_n^k) \leq t + d(\overline{W}_{n_0}^{k_0}).$$

En consecuencia, este procedimiento puede usarse para acotar el valor de  $cr_E(\overline{W}_n^k)$  si es aplicado sobre cada una de las subantiwebs primas de  $\overline{W}_n^k$ .

En el presente trabajo, hemos explorado la posibilidad de aplicar la idea de sucesiones constructivas para acotar el índice  $N$  de la relajación de aristas del polítopo de conjuntos estables asociado a una antiweb.

Dadas una antiweb  $\overline{W}_n^k$  y una subantiweb inducida  $\overline{W}_{n'}^{k'} \subseteq \overline{W}_n^k$ , notaremos por  $\eta(\overline{W}_{n'}^{k'})$  (resp.  $\eta^+(\overline{W}_{n'}^{k'})$ ) el índice  $N$  (resp. el índice  $N_+$ ) de la desigualdad de rango asociada a  $\overline{W}_{n'}^{k'}$ ,

$$\sum_{i \in \overline{W}_{n'}^{k'}} x_i \leq k' + 1, \tag{4}$$

con relación a  $ESTAB(\overline{W}_n^k)$ . Recordemos que este índice es el menor  $r \in \mathbb{N}$  tal que (4) es válida para el polítopo

$$N^r(\overline{W}_n^k) = \underbrace{N(N(\dots N(\overline{W}_n^k) \dots))}_{r \text{ veces}}.$$

(Para  $\eta^+$  se tiene la definición correspondiente.)

Como  $STAB(\overline{W}_n^k)$  está completamente definido por restricciones de no negatividad y desigualdades de rango de subantiwebs primas, se tiene que:

$$n_E(\overline{W}_n^k) = \max\{\eta(\overline{W}_{n'}^{k'}) : \overline{W}_{n'}^{k'} \subseteq \overline{W}_n^k, \overline{W}_{n'}^{k'} \text{ es prima}\}$$

y

$$n_E^+(\overline{W}_n^k) = \max\{\eta^+(\overline{W}_{n'}^{k'}) : \overline{W}_{n'}^{k'} \subseteq \overline{W}_n^k, \overline{W}_{n'}^{k'} \text{ es prima}\}.$$

Esto justifica la siguiente definición.

**Definición 5.** Una sucesión de antiwebs

$$\overline{W}_{n_0}^{k_0} \subset \overline{W}_{n_1}^{k_1} \subset \dots \subset \overline{W}_{n_t}^{k_t} = \overline{W}_n^k \tag{5}$$

es una sucesión  $N$ -constructiva cuando para todo  $i = 1, \dots, t$  y  $j \in \mathbb{N}$ , se tiene que si la desigualdad de rango de  $\overline{W}_{n_{i-1}}^{k_{i-1}}$  es válida para  $N^j(\overline{W}_n^k)$ , entonces la desigualdad de rango de  $\overline{W}_{n_i}^{k_i}$  es válida para  $N^{j+1}(\overline{W}_n^k)$ .

Notar que de manera análoga a lo que ocurre con el rango de Chvátal, la existencia de una sucesión como (5) implica una cota superior para el índice  $N$  de la desigualdad de rango asociada a  $\overline{W}_n^k$ :

$$\eta(\overline{W}_n^k) \leq \eta(\overline{W}_{n_0}^{k_0}) + t.$$

La pregunta fundamental que hemos examinado es si es posible, y bajo qué condiciones, obtener sucesiones constructivas para determinadas familias de antiwebs.

**Ejemplo**

Como motivación, examinaremos la generación de la desigualdad de rango del agujero impar  $C_5 = \overline{W}_5^1$  ilustrado en la figura 3 a partir de las desigualdades de aristas.

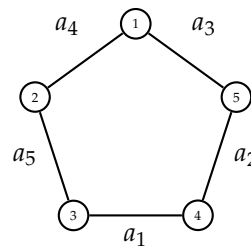


Figura 3. El agujero impar  $C_5 = \overline{W}_5^1$ .

Recordemos que para aplicar los resultados de la primera sección, debemos homogeneizar el problema. La desigualdad de rango de  $C_5$ ,

$$x(C_5) := \sum_{i \in C_5} x_i \leq 2, \tag{6}$$

homogeneizada toma la forma

$$2x_0 - \sum_{i \in C_5} x_i \geq 0,$$

y su vector de incidencia es

$$\hat{a} = \begin{pmatrix} 2 \\ -\mathbb{1} \end{pmatrix},$$

donde  $\mathbb{1} \in \mathbb{R}^5$ .

Demostrar que (6) tiene índice  $N$  menor o igual a 1 es equivalente a demostrar que es una desigualdad válida para  $N(C_5)$ . Si  $\hat{a} \in N(\text{EST}(C_5))^* \subseteq \mathbb{R}^6$ , entonces

$$\hat{a}^T x \geq 0 \text{ para todo } x \in N(\text{EST}(C_5)),$$

y por tanto  $\sum_{i \in C_5} x_i \leq 2$  es válida para  $N(C_5)$ , en virtud de que  $N(C_5) \cong N(\text{EST}(C_5)) \cap \{x \in \mathbb{R}^6 : x_0 = 1\}$ . Del lema 4, sabemos que  $\hat{a} \in N(\text{EST}(C_5))^*$  si y solo si  $\hat{a}e_0^T \in M(\text{EST}(C_5))^*$ . Por otra parte, de (2), en el teorema 5, tenemos:

$$M(\text{EST}(C_5))^* = U_{\text{skew}} + U_1 + \text{cone}\{uv^T : u \in \text{EST}(C_5)^*, v \in Q^*\}.$$

Por lo tanto, basta con expresar  $\hat{a}e_0^T$  como la suma de tres matrices en  $\mathbb{R}^{6 \times 6}$ , pertenecientes a los conjuntos arriba señalados. Puesto que se sabe que  $U_1$  está generado por  $f_i e_i^T$ ,  $i = 1, \dots, 5$ , buscamos una expresión de la forma

$$\hat{a}e_0^T = A + \sum_{i=1}^5 \lambda_i e_i f_i^T + \sum_{t=1}^m \gamma_t u_t v_t^T,$$

donde  $A$  es una matriz antisimétrica,  $\lambda_i \in \mathbb{R}$  para todo  $i = 1, \dots, 5$ ,  $u_t \in \text{EST}(C_5)^*$ ,  $v_t \in Q^* = \text{cone}\{e_i, f_i : 1 \leq i \leq 5\}$  y  $\gamma_t \in \mathbb{R}_+$ ,  $t = 1, \dots, m$ .

Por otro lado,

$$\text{EST}(C_5) = \{x \in \mathbb{R}^6 : x_i \geq 0 \forall i \in C_5, x_i + x_j \leq x_0 \forall ij \in E(C_5)\},$$

y puede ser escrito de forma matricial de la siguiente manera:

$$\text{EST}(C_5) = \{x \in \mathbb{R}^6 : \hat{A}x \geq 0\},$$

donde

$$\hat{A} = \begin{pmatrix} \hat{I}_5 \\ \hat{A}_0 \end{pmatrix},$$

con

$$\hat{I}_5 = \begin{pmatrix} 0 & 1 & 0 & 0 & 0 & 0 \\ 0 & 0 & 1 & 0 & 0 & 0 \\ 0 & 0 & 0 & 1 & 0 & 0 \\ 0 & 0 & 0 & 0 & 1 & 0 \\ 0 & 0 & 0 & 0 & 0 & 1 \end{pmatrix}$$

$$\hat{A}_0 = \begin{pmatrix} 1 & 0 & 0 & -1 & -1 & 0 \\ 1 & 0 & 0 & 0 & -1 & -1 \\ 1 & -1 & 0 & 0 & 0 & -1 \\ 1 & -1 & -1 & 0 & 0 & 0 \\ 1 & 0 & -1 & -1 & 0 & 0 \end{pmatrix}.$$

De la definición de polaridad,

$$\text{EST}(C_5)^* = \{v \in \mathbb{R}^6 : v^T x \geq 0 \forall x \in \text{EST}(C_5)\}.$$

Se puede ver fácilmente que si  $v$  es un vector fila de la matriz  $\hat{A}$ , entonces  $v$  satisface  $v^T x \geq 0$  para toda  $x \in \text{EST}(C_5)$ . Por otra parte, si  $v \in \text{EST}(C_5)^*$ , entonces la desigualdad  $v^T x \geq 0$  es válida para  $\text{EST}(C_5)$  y, por tanto, es combinación cónica de las desigualdades de  $\hat{A}x \geq 0$ . Observar, además, que los vectores fila de  $\hat{I}_5$  y  $\hat{A}_0$  son los vectores de incidencia homogeneizados asociados a las desigualdades de no negatividad  $x_i \geq 0$  y de arista  $a_i$  para  $i \in C_5$ . Notaremos estos vectores por  $\hat{e}^i$  y  $\hat{a}^i$ , respectivamente. Por tanto,

$$\text{EST}(C_5)^* = \text{cone}\{\hat{e}^i, \hat{a}^i : \forall i \in C_5\}.$$

Consideremos ahora las matrices

$$C_1 := (\hat{a}^2 + \hat{a}^5)f_1^T + (\hat{a}^3 + \hat{a}^1)f_2^T + (\hat{a}^4 + \hat{a}^2)f_3^T + (\hat{a}^5 + \hat{a}^3)f_4^T + (\hat{a}^1 + \hat{a}^4)f_5^T$$

y

$$C_2 = (\hat{a}^1 + \hat{a}^3 + \hat{a}^4)e_1^T + (\hat{a}^2 + \hat{a}^4 + \hat{a}^5)e_2^T + (\hat{a}^3 + \hat{a}^5 + \hat{a}^1)e_3^T + (\hat{a}^4 + \hat{a}^1 + \hat{a}^2)e_4^T + (\hat{a}^5 + \hat{a}^2 + \hat{a}^3)e_5^T.$$

Puede verificarse que  $C := C_1 + C_2$  pertenece a  $\text{cone}\{uv^T : u \in \text{EST}(C_5)^*, v \in Q^*\}$  y, además, que:

$$C = \begin{pmatrix} 10 & 1 & 1 & 1 & 1 & 1 \\ -4 & -2 & 0 & 0 & 0 & 0 \\ -4 & 0 & -2 & 0 & 0 & 0 \\ -4 & 0 & 0 & -2 & 0 & 0 \\ -4 & 0 & 0 & 0 & -2 & 0 \\ -4 & 0 & 0 & 0 & 0 & -2 \end{pmatrix}.$$

Finalmente, consideremos la matriz antisimétrica

$$A = \begin{pmatrix} 0 & 1 & 1 & 1 & 1 & 1 \\ -1 & 0 & 0 & 0 & 0 & 0 \\ -1 & 0 & 0 & 0 & 0 & 0 \\ -1 & 0 & 0 & 0 & 0 & 0 \\ -1 & 0 & 0 & 0 & 0 & 0 \\ -1 & 0 & 0 & 0 & 0 & 0 \end{pmatrix}$$

y la matriz  $B \in U_1$ , dada por:

$$B = -2 \sum_{i=1}^5 f_i e_i^T = -2 \begin{pmatrix} 0 & 1 & 1 & 1 & 1 & 1 \\ 0 & -1 & 0 & 0 & 0 & 0 \\ 0 & 0 & -1 & 0 & 0 & 0 \\ 0 & 0 & 0 & -1 & 0 & 0 \\ 0 & 0 & 0 & 0 & -1 & 0 \\ 0 & 0 & 0 & 0 & 0 & -1 \end{pmatrix}.$$

Al sumar estas matrices, se tiene que

$$A + B + C = \begin{pmatrix} 10 & 0 & 0 & 0 & 0 & 0 \\ -5 & 0 & 0 & 0 & 0 & 0 \\ -5 & 0 & 0 & 0 & 0 & 0 \\ -5 & 0 & 0 & 0 & 0 & 0 \\ -5 & 0 & 0 & 0 & 0 & 0 \\ -5 & 0 & 0 & 0 & 0 & 0 \end{pmatrix} = 5\hat{a}e_0^T.$$

Es decir,  $5\hat{a} \in N(\text{EST}(C_5))^*$ , lo que implica que  $5\hat{a}^T x \geq 0$  es válida para  $N(\text{EST}(C_5))$  y, por tanto,  $\sum_{i \in C_5} x_i \leq 2$  es válida para  $N(C_5)$ .

## 5 Cotas superiores para el índice $N$ de $\text{EST}(\overline{W}_n^k)$

Expondremos a continuación un mecanismo para obtener sucesiones  $N$ -constructivas de antiwebs. Partimos del siguiente resultado clásico demostrado por Trotter.

**Teorema 12** ([5]). *La antiweb  $\overline{W}_{n'}^{k'}$  es un subgrafo inducido de  $\overline{W}_n^k$  si y solo si se tiene  $n' < n, k' < k$  y*

$$\frac{k'}{k}n \leq n' \leq \frac{k'+1}{k+1}n.$$

En [4] fueron demostrados los siguientes lemas intermedios. En adelante, la adición de índices se considera siempre módulo  $n$ .

**Lema 13** ([4]). *Dados  $k', n', q \in \mathbb{N}$  con  $q \geq 2$ , considerar la antiweb  $\overline{W}_n^k$ , donde  $n := qn' + 1$  y  $k := q(k' + 1) - 1$ . Denotemos por  $V = \{1, \dots, n\}$  al conjunto de nodos de  $\overline{W}_n^k$ . Para todo  $j \in V$ , el conjunto de nodos  $V_j := \{j + lq : 0 \leq l \leq n' - 1\}$  induce una subantiweb de  $\overline{W}_n^k$  isomorfa a  $\overline{W}_{n'}^{k'}$ .*

**Lema 14** ([4]). *Si  $V_j$  se define como en el lema anterior,*

$$V_j \cap V_{j'} = \emptyset, \forall j, j' \in V \text{ tales que } 0 < |j - j'| < q$$

y, además,

$$\cup_{i=1}^q V_{j+i} = V \setminus \{j\} \text{ para todo } j \in V.$$

A partir de los dos lemas puede demostrarse el resultado central del presente trabajo.

**Teorema 15.** *Sea  $\overline{W}_{n'}^{k'}$  una subantiweb de  $\overline{W}_n^k$  con  $k', n', k$  y  $n$  definidos como en el lema 13. Supongamos que  $\eta(\overline{W}_{n'}^{k'}) = t$ . Entonces*

$$\eta(\overline{W}_n^k) \leq t + 1.$$

*Demostración.* Demostraremos que la desigualdad de rango asociada a la antiweb  $\overline{W}_n^k$ ,

$$x(\overline{W}_n^k) \leq k + 1,$$

es válida para  $N^{t+1}(\overline{W}_n^k) = N(N^t(\overline{W}_n^k))$ . Sea  $\hat{a}^j \in \mathbb{Q}^{n+1}$  el vector de incidencia de la desigualdad de rango homogeneizada asociada a la subantiweb inducida por  $V_j$ , definido como en el lema 13. Es decir,

$$\hat{a}_i^j = \begin{cases} k' + 1 & \text{si } i = 0, \\ -1 & \text{si } i \in V_j, \\ 0 & \text{en los demás casos.} \end{cases}$$

De la misma manera,  $\hat{r} \in \mathbb{Q}^{n+1}$  denotará el vector de incidencia de la desigualdad de rango homogeneizada asociada a la antiweb  $\overline{W}_n^k$ , multiplicado por  $n$ .

Tenemos que demostrar que  $\hat{r}$  pertenece a  $N(N^t(\text{EST}(\overline{W}_n^k)))^*$ , ya que con esto se verifica que  $\hat{r}^T x \geq 0$  para todo  $x \in N(N^t(\text{EST}(\overline{W}_n^k)))$ .

Por el lema 4,  $\hat{r} \in N(N^t(\text{EST}(\overline{W}_n^k)))^*$  si y solo si  $\hat{r}e_0^T \in M(N^t(\text{EST}(\overline{W}_n^k)))^*$ , donde

$$\hat{r}e_0^T = \begin{pmatrix} (k+1)n & 0 & 0 & \cdots & 0 \\ -n & 0 & 0 & \cdots & 0 \\ -n & 0 & 0 & \cdots & 0 \\ \vdots & \vdots & \vdots & \ddots & \vdots \\ -n & 0 & 0 & \cdots & 0 \end{pmatrix}.$$

De (2) sabemos que la matriz  $\hat{r}e_0^T$  pertenece a  $M(N^t(\text{EST}(\overline{W}_n^k)))^*$  si y solo si  $\hat{r}e_0^T$  puede ser escrita como la suma de una matriz antisimétrica, una matriz perteneciente a  $U_1$  y una matriz elemento del cono  $D := \text{cone}\{uv^T, u \in N^t(\text{EST}(\overline{W}_n^k))^*, v \in Q^*\}$ .

Notaremos por  $\hat{a}^j \in \mathbb{R}^{n+1}$  el vector de incidencia asociado a la desigualdad de rango de la subantiweb de  $\overline{W}_n^k$  inducida por  $V_j$ .

Del lema 14, sabemos que  $(V_{i \oplus 1}, \dots, V_{i+q})$  es una partición del conjunto  $V \setminus \{i\}$ , por lo que, al sumar los vectores  $\hat{a}^{i \oplus 1} + \dots + \hat{a}^{i+q}$ , tenemos un vector cuya primera entrada es  $(k' + 1)q$  y que tiene  $-1$  en las demás entradas, salvo en la entrada  $i$  que es 0. Luego, la matriz  $C_1 := \sum_{i=1}^n (\hat{a}^{i \oplus 1} + \hat{a}^{i \oplus 2} + \dots + \hat{a}^{i+q}) f_i^T$  tiene la siguiente forma

$$C_1 = \begin{pmatrix} q(k'+1)n & -q(k'+1) & -q(k'+1) & \cdots & -q(k'+1) \\ -(n-1) & 0 & 1 & \cdots & 1 \\ -(n-1) & 1 & 0 & \cdots & 1 \\ \vdots & \vdots & \vdots & \ddots & \vdots \\ -(n-1) & 1 & 1 & \cdots & 0 \end{pmatrix},$$

donde, debido a que  $f_i = e_0 - e_i$ , la primera columna de  $C_1$  contiene a la suma cambiada de signo de las demás columnas. Definiendo

$$\bar{n} = \left\lfloor \frac{n}{2} \right\rfloor + 1,$$

se tiene, igual que antes, que  $(V_{i \oplus \bar{n} \oplus 1}, \dots, V_{i \oplus \bar{n} + q})$  es una partición del conjunto  $V \setminus \{i \oplus \bar{n}\}$ . Al unir este conjunto con la arista de  $\overline{W}_n^k$  de la forma  $\{i, i \oplus \bar{n}\}$ , se logra recubrir todos los nodos una sola vez y el nodo  $i$  dos veces. Notaremos por  $\hat{a}^{i \oplus \bar{n}}$  al vector de incidencia asociado a la desigualdad de arista  $x_i + x_{i \oplus \bar{n}} \leq 1$  homogeneizada. Al

sumar los vectores  $\hat{a}^{i \oplus \bar{n} \oplus 1}, \dots, \hat{a}^{i \oplus \bar{n} + q}, \hat{a}^{i, i \oplus \bar{n}}$ , se tiene un vector donde la primera entrada es  $(k' + 1)q + 1$ , la  $i$ -ésima entrada es  $-2$  y el resto es  $-1$ . Por lo tanto, la matriz  $C_2$  definida por  $\sum_{i=1}^n (\hat{a}^{i \oplus \bar{n} \oplus 1} + \dots + \hat{a}^{i \oplus \bar{n} + q} + \hat{a}_{i, i \oplus \bar{n}}) e_i^T$  tiene la siguiente forma

$$C_2 = \begin{pmatrix} 0 & q(k'+1)+1 & q(k'+1)+1 & \dots & q(k'+1)+1 \\ 0 & -2 & -1 & \dots & -1 \\ 0 & -1 & -2 & \dots & -1 \\ \vdots & \vdots & \vdots & \ddots & \vdots \\ 0 & -1 & -1 & \dots & -2 \end{pmatrix}.$$

Sumando  $C_1$  y  $C_2$  se tiene

$$C := C_1 + C_2 = \begin{pmatrix} q(k'+1)n & 1 & 1 & \dots & 1 \\ -(n-1) & -2 & 0 & \dots & 0 \\ -(n-1) & 0 & -2 & \dots & 0 \\ \vdots & \vdots & \vdots & \ddots & \vdots \\ -(n-1) & 0 & 0 & \dots & -2 \end{pmatrix}.$$

De la hipótesis  $\eta(\overline{W}_{n'}^{k'}) = t$ , se sabe que  $\hat{a}^j \in N^t(\text{EST}(\overline{W}_n^k))^*$  para todo  $j \in V(\overline{W}_n^k)$ . Además,  $\hat{a}^{i, i \oplus \bar{n}} \in N^t(\text{EST}(\overline{W}_n^k))^*$ , pues la desigualdad de arista (homogeneizada) es válida para  $\text{EST}(\overline{W}_n^k) \supseteq N^t(\text{EST}(\overline{W}_n^k))$ . Luego, la matriz  $C$  pertenece al cono  $D$ .

Observar que, por la definición de  $n'$  y  $k'$  en el lema 13, en la matriz anterior se tiene que  $q(k' + 1)n = (k + 1)n$ . Finalmente, considerar la matriz antisimétrica  $A$  y la matriz  $B \in U_1$  descritas abajo

$$A = \begin{pmatrix} 0 & 1 & 1 & \dots & 1 \\ -1 & 0 & 0 & \dots & 0 \\ -1 & 0 & 0 & \dots & 0 \\ \vdots & \vdots & \vdots & \ddots & \vdots \\ -1 & 0 & 0 & \dots & 0 \end{pmatrix},$$

$$B = \begin{pmatrix} 0 & -2 & -2 & \dots & -2 \\ 0 & 2 & 0 & \dots & 0 \\ 0 & 0 & 2 & \dots & 0 \\ \vdots & \vdots & \vdots & \ddots & \vdots \\ 0 & 0 & 0 & \dots & 2 \end{pmatrix}.$$

Puede verificarse que

$$\hat{r}e_0^T = A + B + C,$$

y de (2), concluimos que  $\hat{r}e_0^T \in M(N^t(\text{EST}(\overline{W}_n^k)))^*$ .  $\square$

Del teorema 15, se obtiene el siguiente resultado:

**Corolario 16** ([4]). Sean  $q \geq 2, n_0, k_0, i \in \mathbb{N}$ . Si  $n_i = n_0 q^i + \frac{q^i - 1}{q - 1}$  y  $k_i = (k_0 + 1)q^i - 1$ , entonces

$$\eta(\overline{W}_{n_i}^{k_i}) \leq \eta(\overline{W}_{n_0}^{k_0}) + i.$$

## Referencias

- [1] V. Chvátal. Edmonds polytopes and a hierarchy of combinatorial problems. *Discrete Math*, pages 205–337, 1973.
- [2] Eugenia Holm, Luis M. Torres, and Annegret Wagler. On the Chvátal-rank of linear relaxations of the stable set polytope. *International Transactions in Operational Research*, pages 827–849, 2010.
- [3] László Lovász and Alexander Schrijver. Cones of matrices and set-functions and 0-1 optimization. *SIAM Journal of Optimization*, pages 166–190, 1991.
- [4] Maribel Montenegro. Índices  $N$  y  $N_+$  del polítopo de conjuntos estables asociado a ciertas familias de antiwebs. Undergraduate thesis, Escuela Politécnica Nacional, 2012.
- [5] Leslie E. Trotter, Jr. A class of facet producing graphs for vertex packing polyhedra. *Disc. Math.*, (12):373–388, 1975.
- [6] Annegret Wagler. Antiwebs are rank-perfect. *4OR*, 2(2):149–152, 2004.